

# Длинноволновый ИК спектр двойных слоистых редкоземельных мanganитов $\text{Pr}_{1,2}\text{Sr}_{1,8}\text{Mn}_2\text{O}_7$ и $\text{Nd}_{1,2}\text{Sr}_{1,8}\text{Mn}_2\text{O}_7$

В.С. Курносов, **В.В. Пишко**, В.В. Цапенко

Физико-технический институт низких температур им. Б.И. Веркина НАН Украины

пр. Ленина, 47, г. Харьков, 61103, Украина

E-mail: kurnosov@ilt.kharkov.ua

Статья поступила в редакцию 28 декабря 2006 г., после переработки 20 апреля 2007 г.

Измерены спектры далекого инфракрасного отражения монокристаллов мanganитов  $\text{Pr}_{1,2}\text{Sr}_{1,8}\text{Mn}_2\text{O}_7$  и  $\text{Nd}_{1,2}\text{Sr}_{1,8}\text{Mn}_2\text{O}_7$  в диапазоне энергий 50–500  $\text{cm}^{-1}$  при температурах от 10 до 297 К. Проведено отнесение наблюдаемых в этом диапазоне фононных линий к определенным колебательным модам в приближении высокосимметричной тетрагональной фазы  $I4/mmm$ . В кристалле  $\text{Pr}_{1,2}\text{Sr}_{1,8}\text{Mn}_2\text{O}_7$  обнаружено аномальное поведение энергии одного из решеточных фонов ( $242 \text{ cm}^{-1}$  при комнатной температуре). Температурная зависимость частоты соответствующей линии поглощения имеет излом при  $T \approx 180$  К, ниже которой наблюдается аномальное смягчение этой моды. Высказано предположение о возможном фазовом переходе кристалла в зарядово-упорядоченное состояние и предложен механизм частотной реакции фонона, основанный на эффекте изменения валентности ионов Pr.

Виміряно спектри далекого інфрачервоного відбиття монокристалів мanganітів  $\text{Pr}_{1,2}\text{Sr}_{1,8}\text{Mn}_2\text{O}_7$  та  $\text{Nd}_{1,2}\text{Sr}_{1,8}\text{Mn}_2\text{O}_7$  в діапазоні енергій 50–500  $\text{cm}^{-1}$  при температурах від 10 до 297 К. Проведено віднесення фононних ліній, що спостерігаються в цьому діапазоні, до певних коливальних мод у наближенні високосиметричної тетрагональної фази  $I4/mmm$ . В кристалі  $\text{Pr}_{1,2}\text{Sr}_{1,8}\text{Mn}_2\text{O}_7$  знайдено аномальну температурну поведінку енергії одного з гривкових фононів ( $242 \text{ cm}^{-1}$  при кімнатній температурі). Температурна залежність частоти відповідної лінії поглинання має злам при  $T \approx 180$  К, нижче якої спостерігається аномальне пом'якшення цієї моди. Зроблено припущення щодо можливого фазового переходу кристала у зарядово-упорядкований стан та запропоновано механізм частотної реакції фонона, що ґрунтуються на ефекті зміни валентності іонів Pr.

PACS: 78.30.-j Инфракрасные и рамановские спектры;  
63.20.Kr Фонон-электронные и фонон-фононные взаимодействия.

Ключевые слова: мanganит, фонон, колебательная мода, фазовый переход.

## Введение

Исследования перосвикитоподобных марганцевых оксидов, содержащих редкоземельные и щелочноземельные металлы, в последнее время вызывают повышенный интерес среди исследователей как фундаментального, так и прикладного направлений вследствие существования в этих соединениях гигантского магниторезистивного эффекта. Наиболее простая форма этих соединений — так называемые трехмерные мanganиты, общая химическая формула которых  $\text{R}_{1-x}\text{A}_x\text{MnO}_3$  ( $0 \leq x \leq 1$ ), где R — редкоземельный элемент, принимающий в соединении валентность 3+,

A — двухвалентный щелочноземельный металл. Зарядовый баланс приводит к тому, что ионы марганца проявляют валентность 3+ и 4+, а параметр x соответствует концентрации  $\text{Mn}^{4+}$ . В этой структуре прослеживаются слои связанных вершинами октаэдров  $\text{MnO}_6$ , между которыми располагаются ионы щелочноземельных и редкоземельных металлов. Родственные структуры, в смысле упаковки марганцево-кислородных октаэдров, но уже другой размерности, получаются, если между слоями октаэдров включить дополнительные плоскости с химической формулой  $(\text{R}, \text{A})\text{O}$ . В случае, когда такие включения следуют после каждого

перовскитоподобного фрагмента, образуется слоистая структура с общей формулой  $R_{1-x}A_{1+x}MnO_4$ . Когда такое включение происходит через каждые два слоя, формула структуры будет  $R_{2-2x}A_{1+2x}Mn_2O_7$ . По такому принципу может быть построен и дальний ряд родственных структур, который называется серией Руддлесдена-Поппера и описывается общей формулой  $\{(R, A)MnO_3\}_n \{(R, A)O\}$ . При  $n = \infty$  получается формула трехмерного мanganита, при  $n = 1$  и  $2$  — описанные выше слоистые производные. Следует отметить, что в слоистых структурах соседние слои сдвинуты на половину периода решетки в диагональном направлении друг относительно друга, так что высокосимметрическая прафаза описывается пространственной группой  $I4/mmm$ . Интерес к слоистому семейству  $R_{2-2x}A_{1+2x}Mn_2O_7$  продиктован пониженней размерностью этих систем, которая предоставляет дополнительные степени свободы для всех типов элементарных возбуждений [1,2]. Естественная слоистая химически однородная система магнитоконцентрированных бислоев, разделенных диэлектрическими блокирующими монослоями  $(R, A)O$ , формирует в наноразмерном масштабе гетероструктуру, в которой возможен туннельный транспорт носителей, и которая может выступать как спин-вентильная среда [3]. Интерес к этой системе особенно возрос с открытием, по аналогии с трехмерными мanganитами, в одном из ее представителей,  $La_{1.2}Sr_{1.8}Mn_2O_7$ , колосального магниторезистивного эффекта [4] ( $MR \approx 20\,000\%$  при  $T = 129$  К и  $H = 7$  Тл).

Основной особенностью всех этих соединений является возможность управляемого изменения соотношения ионов Mn с различной валентностью. Присутствие в кристалле таких соседствующих ионов в принципе предполагает существование полупроводниковой проводимости за счет прыжковой миграции «лишних» электронов или, что тоже самое, дырок с узла на узел, если этому не препятствуют какие-либо правила запрета. Четыре или три электрона в незаполненной  $d$ -оболочке иона Mn в октаэдрической координации кислородных лигандов, формирующих кристаллическое поле кубической симметрии, заполняют, согласно правилу Хунда, орбитали  $t_{2g}$  и  $e_g$ , причем на  $e_g$ -орбитали находится один электрон в трехвалентном ионе Mn. Основным состоянием четырех- и трехвалентных ионов Mn являются термы  ${}^4F_{3/2}$  и  ${}^5D_0$  соответственно.

Согласно сложившемуся подходу к классификации состояний разновалентных ионов Mn в мanganитах и их взаимодействию между собой, считается, что три  $t_{2g}$  низкоэнергетических электрона ответственны за антиферромагнитное суперобменное взаимодействие с соседями, в то время как высокоэнергетический  $e_g$ -электрон, имеющий возможность прыжковой миг-

рации, с одной стороны осуществляет процесс протекания тока, а с другой — так называемый механизм двойного обмена, который имеет ферромагнитный знак. При строгой коллинеарности и антипараллельности спинов соседних парамагнитных ионов перенос электрона сильно запрещен, поэтому антиферромагнитная фаза ассоциируется в мanganитах с диэлектрическим состоянием. Скос спинов соседних парамагнитных ионов, а тем более их параллельность (ферромагнитная фаза), разрешает перенос  $e_g$ -электрона на вакантную орбиталь соседнего иона, формируя «металлическое» состояние мanganита.

Присутствие одного  $e_g$ -электрона в конфигурации может приводить к ян-теллеровскому тетрагональному искажению в расположении окружающих ион лигандов, при котором снимается вырождение энергий  $d_{3z^2-r^2}$  и  $d_{x^2-y^2}$  орбиталей. Какая из орбиталей будет иметь наименьшую энергию, зависит от знака искажения октаэдра лигандов и приводит к различного типа орбитальному упорядочению. Кроме того, соответствующее пространственное распределение электронной плотности создает анизотропию в вероятности прыжковых переходов между соседними узлами и, соответственно, в электропроводности и двойном обменном взаимодействии. Сильная связь между подвижностью носителей тока, магнитным порядком и структурными искажениями, что единогласно отмечают авторы всех работ по мanganитам, делает весьма сложным построение теории, адекватно учитывающей все особенности тонкого баланса между разнообразными возможными фазами и характером переходов между ними [5–8].

В пределах достаточно больших диапазонов изменения параметра замещения  $x$ , который определяет концентрацию ионов  $Mn^{4+}$  в мanganитах, возможно также варьировать средним размером ионов щелочно-редкоземельной подрешетки, заменяя соответствующие ионы их аналогами с отличным ионным радиусом. Это позволяет оказывать «химическое» давление на  $MnO_6$  октаэдры, управляя их параметрами (длиной связей Mn—O и, следовательно, транспортными свойствами), степенью искажения (расщеплением энергий  $d_{3z^2-r^2}$  и  $d_{x^2-y^2}$  орбиталей, а следовательно, характером обменного взаимодействия и орбитального упорядочения). Все эти эксперименты на огромном количестве объектов проводились с конечной целью — получить рецепт целенаправленного управления полезными физическими свойствами, такими, например, как магниторезистивный эффект [1,9–12].

Мanganиты, синтезированные на базе иона Pr, имеют, по свидетельству [13], существенное отличие магнитных и транспортных свойств от широко исследуемых соединений на базе La. С одной стороны, ионы La и Pr в трехвалентном состоянии имеют различные

ионные радиусы — 1,22 и 1,06 Å соответственно [14]. С другой, ион La может иметь в соединениях валентность максимум 3+, в то время как для Pr эта величина может составлять и 4+ [14]. Таким образом, дырки, производимые за счет введения ионов двухвалентного щелочноземельного металла, могут локализоваться именно на ионах Pr, приводя их валентность к значению 4+. Эти дырки не участвуют в процессе электрической проводимости, поскольку дырочные уровни  $\text{Pr}^{4+}$  занимают положение по энергии ниже, чем дырочная зона Mn. При приложении внешнего магнитного поля дно дырочной зоны Mn понижается с ростом поля быстрее, чем дырочные уровни  $\text{Pr}^{4+}$ . В некотором критическом поле эти энергии сравниваются, и дырки переходят в зону Mn. Здесь они участвуют в формировании непрямого обмена, что стабилизирует ферромагнитное состояние. При дальнейшем увеличении поля может произойти метамагнитный переход, сопровождаемый переходом изолятор—металл [15].

Первая качественная модель реализации магнитных структур и решеточных искажений в трехмерных перовскитоподобных мanganитах была дана Goodenough [6] еще в 1955 г. Его теория ковалентных и полукавалентных взаимодействий парамагнитных ионов с соседними кислородными лигандами и посредством последних между собой позволила дать качественное объяснение экспериментально наблюдаемой фазовой диаграмме в ряду твердых растворов  $\text{La}_{1-x}\text{Ca}_x\text{MnO}_3$ . После обнаружения гигантского магниторезистивного эффекта в подобных соединениях интерес к ним возрос с новой силой. Огромное количество экспериментальных находок и теоретических моделей и предсказаний сделано за последние годы. Обнаружены эффекты фазового расслоения, зарядового упорядочения как ближнего, так и дальнего порядка. Системы демонстрируют многообразие структурных изменений, тесно связанных с изложенными выше факторами. Авторы многих работ сходятся в одном: многообразие фаз в этих системах связано с конкурирующими взаимодействиями различного рода, тонкий баланс между которыми легко нарушается при малых изменениях концентрации дырок (параметр  $x$ ), температуры, внешнего магнитного поля, ионных радиусов редкоземельных и щелочноземельных ионов, размерности системы и др. Несмотря на большие усилия в попытке построить теорию явлений, наблюдавшихся в мanganитах, она все еще не существует. В некоторых частных случаях конкретных структур существует несомненный успех, но общего описания всего круга явлений в мanganитах все еще нет. Кроме того, активность экспериментаторов приносит все новые данные о поведении тех или иных представителей ряда мanganитов. Конечно же, основное внимание ученых прико-

вано к соединениям La–Sr ряда, поскольку именно в этих соединениях наблюдается гигантский магниторезистивный эффект. Количество исследований, посвященных другим представителям семейства мanganитов, с другими редкоземельными и щелочными ионами, значительно меньше, хотя с точки зрения проявления к единой модели физических явлений и свойств мanganитов такие данные весьма важны.

В настоящей работе поставлена задача исследования спектров соединений, родственных по структуре мanganитам La–Sr ряда, но включают Pr и Nd. Цель работы — проведение сравнительного анализа фононных спектров в ряду близких по структуре соединений, а также поиск особенностей поведения фононов, которые связаны с наличием в них ионов с переменной валентностью.

### Экспериментальная методика и результаты

В настоящей работе проведены исследования спектров отражения монокристаллов  $\text{Pr}_{1,2}\text{Sr}_{1,8}\text{Mn}_2\text{O}_7$  и  $\text{Nd}_{1,2}\text{Sr}_{1,8}\text{Mn}_2\text{O}_7$  в области ДИК поглощения 50–550 см<sup>-1</sup> в диапазоне температур от 10 до 297 К. Регистрацию спектров производили с помощью фурье-спектрометра ЛАФС-1000 с оптико-акустическим преобразователем ОАП-7М в качестве приемника, оборудованным криогенно-охлаждаемой ячейкой для исследуемого образца. Образцы монокристаллов имели характерные размеры 3,5×2,2×0,8 мм. Спектры отражения (рис. 1) регистрировались от естественных скользких поверхностей (0, 0, 1). Многократное накопление спектров с последующим их суммированием позволило существенным образом улучшить соотношение сигнал/шум.

Спектры оптической проводимости (рис. 2) вычисляли с помощью процедуры преобразования Крамерса–Кронига спектров отражения. Поскольку в наших исследованиях не представлялась возможность записи спектров отражения в широком диапазоне частот, вплоть до ультрафиолетового, для преобразования Крамерса–Кронига в качестве данных в среднем и ближнем ИК, а также в видимом и ближнем УФ диапазонах использовались спектры других мanganитов [16–19]. Конечно, для получения корректных (по абсолютной величине) данных оптической проводимости требуется регистрация спектра отражения во всем диапазоне частот, вплоть до частот, где диэлектрическая проницаемость  $\epsilon$  становится неотличимой от 1. Однако точный вид спектра отражения в высокочастотном диапазоне практически не влияет на частотное положение пиков оптической проводимости в области низких частот, диапазоне колебаний кристаллической решетки. Существенной модификации при вариациях высокочастотного участка спектра отражения подвер-

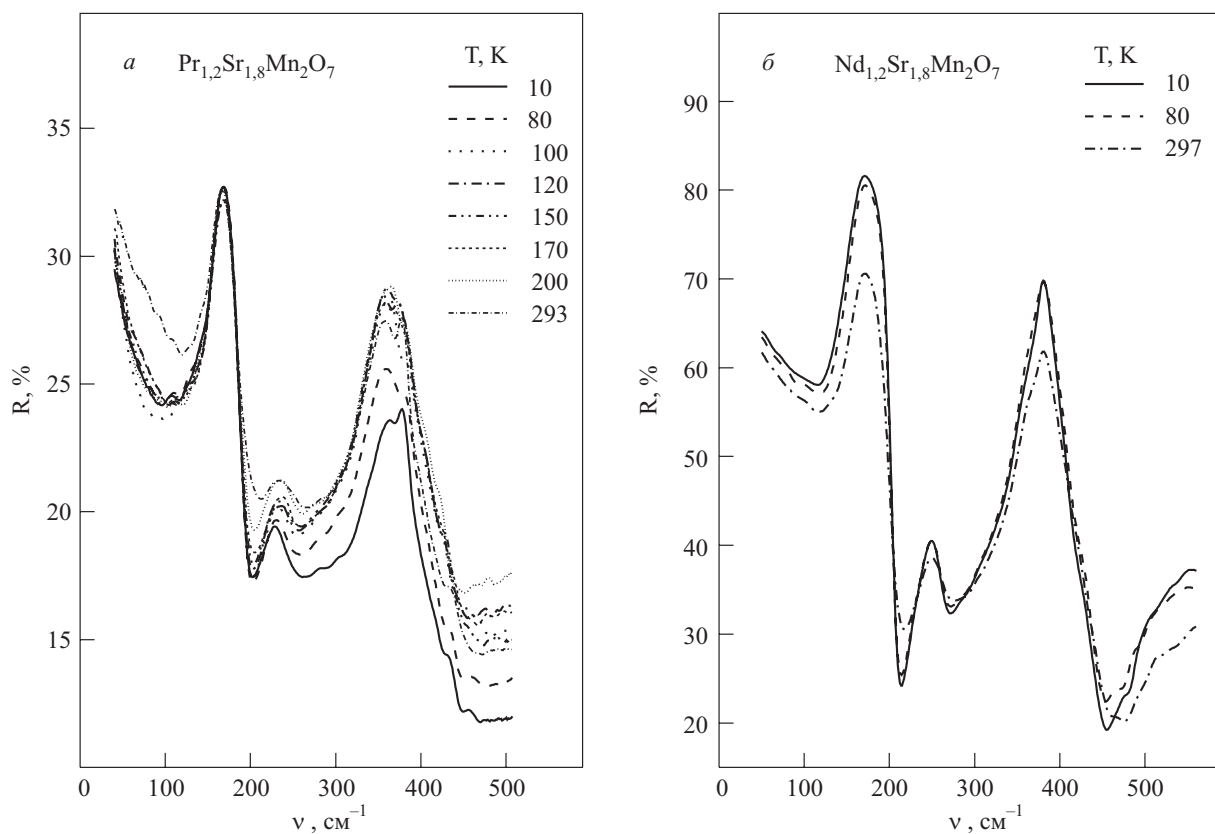


Рис. 1. Экспериментальные спектры ДИК отражения в фононной области частот кристаллов  $\text{Pr}_{1.2}\text{Sr}_{1.8}\text{Mn}_2\text{O}_7$  (а) и  $\text{Nd}_{1.2}\text{Sr}_{1.8}\text{Mn}_2\text{O}_7$  (б) при различных температурах. Спектральное разрешение  $2,4 \text{ cm}^{-1}$ .

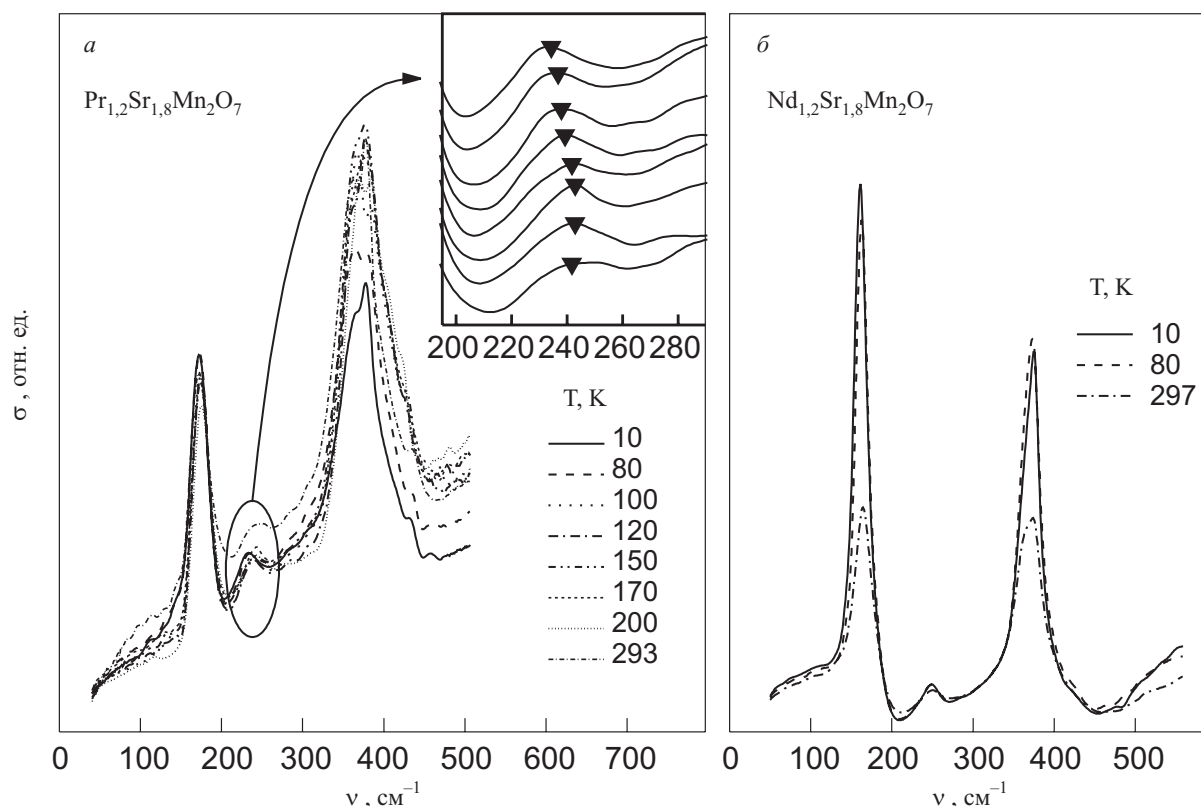


Рис. 2. Температурная эволюция спектров оптической проводимости  $\sigma$  в области частот фононных возбуждений кристаллов  $\text{Pr}_{1.2}\text{Sr}_{1.8}\text{Mn}_2\text{O}_7$  (а) и  $\text{Nd}_{1.2}\text{Sr}_{1.8}\text{Mn}_2\text{O}_7$  (б) при различных температурах. Об абсолютных значениях  $\sigma$  см. текст. На вставке показано частотное поведение пика в области  $240 \text{ cm}^{-1}$ ; положение максимума отмечено треугольниками. Спектры разнесены по вертикальной шкале. Верхний спектр соответствует температуре 10 К.

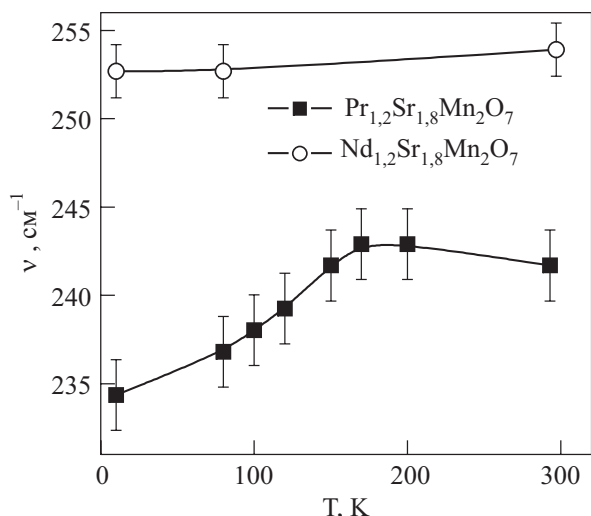


Рис. 3. Температурное поведение линий, соответствующих фононам с энергиями  $242 \text{ см}^{-1}$  (в кристалле  $\text{Pr}_{1,2}\text{Sr}_{1,8}\text{Mn}_2\text{O}_7$ ) и  $253 \text{ см}^{-1}$  (в кристалле  $\text{Nd}_{1,2}\text{Sr}_{1,8}\text{Mn}_2\text{O}_7$ ) при комнатной температуре.

гаются в основном широкие полосы, связанные с электронными переходами, в том числе и с участием поляронов, в основном в областях спектра выше  $4000 \text{ см}^{-1}$ . Их низкочастотные склоны формируют бесструктурную, монотонно зависящую от частоты фоновую часть спектра оптической проводимости в области фононных частот. Использование модельной экстраполяции спектра отражения с последующим преобразованием Крамерса–Кронига, естественно, неадекватно воспроизводит именно эту фоновую часть спектра оптической проводимости. Анализ литературных данных по родственным мanganитам показал, что все они, не взирая на размерность системы и химический состав катионов, имеют весьма характерный и весьма сходный, как по виду, так и по интенсивности, спектр оптического отражения [16–23]. Можно ожидать поэтому, что приведенные в настоящей работе спектры оптической проводимости демонстрируют правильное частотное положение фононных пиков.

В исследуемый диапазон частот для обоих соединений попадают три нижайшие фононные возбуждения с симметрией  $E_u$  в представлениях пространственной группы  $I4/mmm$ . Их энергии при комнатной температуре имеют значения  $185$ ,  $242$  и  $375 \text{ см}^{-1}$  для  $\text{Pr}$ -соединения и  $165$ ,  $257$ ,  $375 \text{ см}^{-1}$  для  $\text{Nd}$ . Температурная зависимость спектров выявила практическую независимость частот всех этих линий от температуры, кроме линии в  $\text{Pr}_{1,2}\text{Sr}_{1,8}\text{Mn}_2\text{O}_7$ , соответствующей фонону с энергией  $242 \text{ см}^{-1}$ . Температурное поведение ее частоты в сравнении с линией, соответствующей такого же типа фонону в  $\text{Nd}$ -соединении, показано на рис. 3.

### Колебательный спектр перовскитоподобных мanganитов

Прежде чем перейти к обсуждению экспериментальных результатов, следует рассмотреть классификацию колебательных мод обсуждаемых классов мanganитов.

Вследствие наблюдаемых в мanganитах различного типа упорядочений, связанных с искажениями решетки, даже для представителей одного кристаллического типа существует множество фаз с различной симметрией и объемом элементарной ячейки. Тем не менее существование высокотемпературной фазы  $I4/mmm$  ( $D_{2h}^{18}$ ) с одной формульной единицей в примитивной ячейке для всех слоистых представителей упомянутого выше ряда позволяет сопоставлять частоты характерных колебаний общих кристаллических мотивов. Авторы работы [24] использовали подобного рода анализ для уточнения отнесения отдельных спектральных линий в рамановском спектре мanganитов к определенным модам фундаментальных колебаний.

Все фундаментальные колебательные моды двух- и однослойных слоистых мanganитов приведены в табл. 1, в которой представлены количество мод и их симметрия для отдельных ионов. Необходимо отметить, что для всех мод, преобразующихся по одномерным представлениям группы  $I4/mmm$ , смещения ионов происходят вдоль оси  $c$  (ось 4-го порядка). В то время как для мод, соответствующих двумерным представлениям этой группы, смещения лежат строго в базисной плоскости.

Вполне установленное отнесение наблюдаемых спектральных линий к определенным колебательным модам дано в литературных источниках в основном для рамановского рассеяния света. По свидетельству многих авторов (см., например, [8, 25]), в рассеянии света не наблюдаются формально активные моды с симметрией  $E_g$ , а наблюдаются только моды симметрии  $A_{1g}$  и  $B_{1g}$ . В ДИК поглощении же, наоборот, вследствие пластинчатой морфологии роста кристаллов с наиболее развитой поверхностью  $(001)$  и возможностью проводить измерения лишь спектров отражения можно наблюдать только моды  $E_u$ . Данных по отнесению этих ИК активных мод в литературе весьма мало, а сравнение с рамановскими данными затруднительно по причине строгого ортогональной поляризации смещений ионов в модах, формирующих ИК и рамановские спектры.

Можно сделать лишь качественное отнесение наблюдаемых в эксперименте частот, базируясь на принципе подобия и наследования мод базового кубического перовскита в его слоистых одинарных и двойных производных структурах. Структурный мотив двойного слоистого перовскита приведен на рис. 4. Колебательные моды кубического, двухслойного и одно-

Таблица 1. Состав колебательных представлений для мanganитов семейств  $R_{1-x}A_{1+x}MnO_4$  и  $R_{2-2x}A_{1+2x}Mn_2O_7$ . Активные в рамановском рассеянии (*g*) и ИК поглощении (*u*) представления показаны жирным шрифтом. Символом  $O_z$  обозначены вершинные кислороды,  $O_{xy}$  — плоскостные,  $O_0$  — внутренние вершинные кислороды в двухслойном мanganите

Ион	Неприводимые представления $I4/mmm$									
	$A1g$	$A2g$	$B1g$	$B2g$	$Eg$	$A1u$	$A2u$	$B1u$	$B2u$	$Eu$
Семейство $R_{1-x}A_{1+x}MnO_4$										
Mn						1		1		
$R_{1-x}A_{1+x}$	1					1	1		1	
$O_z$	1					1	1		1	
$O_{xy}$							1	1	2	
Колебательное представление $\Gamma_{osc} = \Gamma_{opt} + \Gamma_{acust}$ , где										
$\Gamma_{opt} = 2A1g + 2Eg + 3A2u + 1B2u + 4Eu$ , $\Gamma_{acust} = 1A2u + 1Eu$										
Семейство $R_{2-2x}A_{1+2x}Mn_2O_7$										
Mn	1					1	1		1	
$(R_{2-2x}A_{1+2x})_1$ внутрислойевой							1		1	
$(R_{2-2x}A_{1+2x})_2$ межслойевой	1					1	1		1	
$O_0$							1		1	
$O_z$	1					1	1		1	
$O_{xy}$	1	1	2			1	1	1	2	
Колебательное представление $\Gamma_{osc} = \Gamma_{opt} + \Gamma_{acust}$ , где										
$\Gamma_{opt} = 4A1g + B1g + 5Eg + 5A2u + 1B2u + 6Eu$ , $\Gamma_{acust} = 1A2u + 1Eu$										

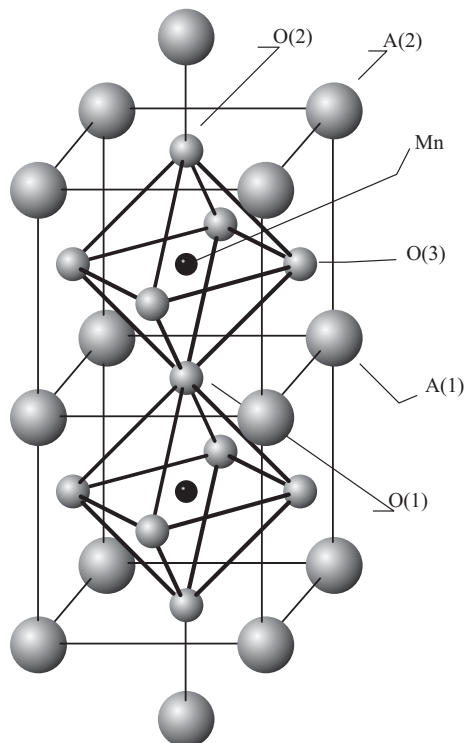


Рис. 4. Элемент структуры двухслойного мanganита. В позициях А находятся трех- и двухвалентные катионы.

слойного мanganита показаны условно на рис. 5. Если проследить генезис колебательных мод, начиная от наиболее простой и симметричной трехмерной структуры, можно с достаточной степенью точности указать частотное отнесение по крайней мере некоторых спектральных линий в эксперименте. Литератур-

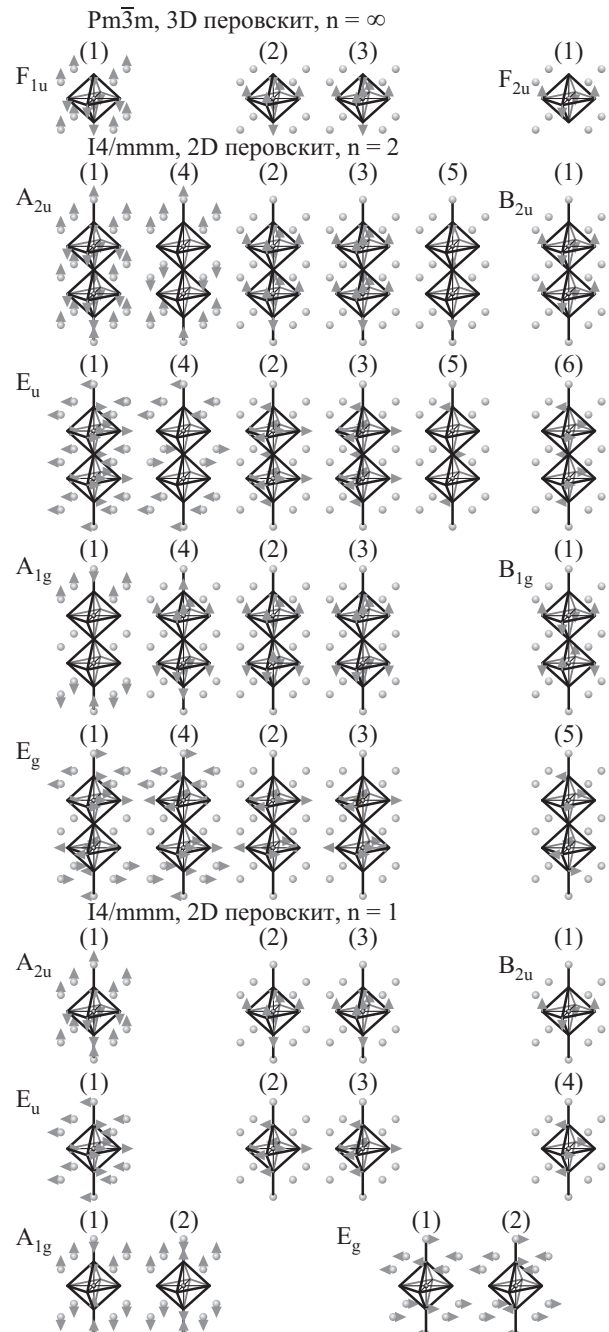


Рис. 5. Характер смещений ионов в фундаментальных оптических модах трехмерного мanganита (кубическая фаза  $Pm\bar{3}m$ ), слоистого двойного и однослойного (тетрагональная фаза  $I4/mmm$ ). Масштаб относительных смещений ионов не соблюден. Нумерация мод, преобразующихся по соответствующему неприводимому представлению, дана по принципу максимального подобия модам базовой кубической решетки перовскита (см. подробности в тексте).

Таблица 2. Энергии фундаментальных колебаний мanganитов. Отнесение сделано с учетом литературных данных. Номера мод даны в соответствии с обозначениями на рис. 5. Приведены только фундаментальные колебания в рамках высокосимметричных групп  $Pm\bar{3}m$  и  $I4/mmm$  (неприводимые представления приведены в колонке Г). Индекс  $n$  обозначает тип структуры в серии Рудллесдена-Поппера

№	$\Gamma$	$v, \text{см}^{-1}$	$T, \text{K}$	Источник	$n$	Соединение
1	$F_{1u}$	170	300	[22]	$\infty$	$\text{La}_{0.7}\text{Ca}_{0.3}\text{MnO}_3$
1	$F_{1u}$	220 (?)	300	[20]	$\infty$	$\text{Bi}_{0.18}\text{Ca}_{0.82}\text{MnO}_3$
1	$A_{2u}$	172	10	[8] <sup>1</sup>	2	$\text{LaSr}_2\text{Mn}_2\text{O}_7$
1	$E_u$	170	10	[19]	2	$\text{La}_{1.2}\text{Sr}_{1.8}\text{Mn}_2\text{O}_7$
1	$E_u$	185	290	[16] <sup>2</sup>	1	$\text{La}_{1/2}\text{Sr}_{3/2}\text{MnO}_4$
1	$E_u$	163	10	[8] <sup>1</sup>	2	$\text{LaSr}_2\text{Mn}_2\text{O}_7$
1	$A_{1g}$	178	10	[8]	2	$\text{LaSr}_2\text{Mn}_2\text{O}_7$
1	$A_{1g}$	170	296	[25]	2	$\text{La}_{1.2}\text{Sr}_{1.8}\text{Mn}_2\text{O}_7$
1	$A_{1g}$	180	296	[25]	2	$\text{Nd}_{1.2}\text{Sr}_{1.8}\text{Mn}_2\text{O}_7$
1	$A_{1g}$	185	296	[24]	2	$\text{LaSr}_2\text{Mn}_2\text{O}_7$
1	$A_{1g}$	222	10	[8]	1	$\text{La}_{1/2}\text{Sr}_{3/2}\text{MnO}_4$
4	$E_u$	213	10	[8] <sup>1</sup>	2	$\text{LaSr}_2\text{Mn}_2\text{O}_7$
4	$E_u$	225	10	[19]	2	$\text{La}_{1.2}\text{Sr}_{1.8}\text{Mn}_2\text{O}_7$
4	$A_{2u}$	196	10	[8] <sup>1</sup>	2	$\text{LaSr}_2\text{Mn}_2\text{O}_7$
4	$A_{1g}$	247	10	[8]	2	$\text{LaSr}_2\text{Mn}_2\text{O}_7$
4	$A_{1g}$	243	296	[25]	2	$\text{La}_{1.2}\text{Sr}_{1.8}\text{Mn}_2\text{O}_7$
4	$A_{1g}$	246	296	[24]	2	$\text{LaSr}_2\text{Mn}_2\text{O}_7$
2	$F_{1u}$	330	300	[22]	$\infty$	$\text{La}_{0.7}\text{Ca}_{0.3}\text{MnO}_3$
2	$F_{1u}$	307, 347, 436	300	[20]	$\infty$	$\text{Bi}_{0.18}\text{Ca}_{0.82}\text{MnO}_3$
2	$A_{2u}$	348	10	[8] <sup>1</sup>	2	$\text{LaSr}_2\text{Mn}_2\text{O}_7$
2	$E_u$	350	10	[8] <sup>1</sup>	2	$\text{LaSr}_2\text{Mn}_2\text{O}_7$
2	$E_u$	370	10	[19]	2	$\text{La}_{1.2}\text{Sr}_{1.8}\text{Mn}_2\text{O}_7$
2	$E_u$	379	290	[16] <sup>2</sup>	1	$\text{La}_{1/2}\text{Sr}_{3/2}\text{MnO}_4$
1	$B_{1g}$	330	10	[8]	2	$\text{LaSr}_2\text{Mn}_2\text{O}_7$
1	$B_{1g}$	324	296	[25]	2	$\text{La}_{1.2}\text{Sr}_{1.8}\text{Mn}_2\text{O}_7, \text{ Nd}_{1.2}\text{Sr}_{1.8}\text{Mn}_2\text{O}_7$
1	$B_{1g}$	325	296	[24]	2	$\text{LaSr}_2\text{Mn}_2\text{O}_7$
4	$E_u$	282	290	[16] <sup>2</sup>	1	$\text{La}_{1/2}\text{Sr}_{3/2}\text{MnO}_4$
6	$E_u$	293	10	[8] <sup>1</sup>	2	$\text{LaSr}_2\text{Mn}_2\text{O}_7$
2	$A_{1g}$	466	10	[8]	2	$\text{LaSr}_2\text{Mn}_2\text{O}_7$
2	$A_{1g}$	450	296	[25]	2	$\text{La}_{1.2}\text{Sr}_{1.8}\text{Mn}_2\text{O}_7, \text{ Nd}_{1.2}\text{Sr}_{1.8}\text{Mn}_2\text{O}_7$
2	$A_{1g}$	456	300	[3]	2	$\text{LaSr}_2\text{Mn}_2\text{O}_7$
2	$A_{1g}$	460	296	[24]	2	$\text{LaSr}_2\text{Mn}_2\text{O}_7$
5	$A_{2u}$	490	10	[8] <sup>1</sup>	2	$\text{LaSr}_2\text{Mn}_2\text{O}_7$
2	$A_{1g}$	520	10	[8]	1	$\text{La}_{1/2}\text{Sr}_{3/2}\text{MnO}_4$
3	$F_{1u}$	580	300	[22]	$\infty$	$\text{La}_{0.7}\text{Ca}_{0.3}\text{MnO}_3$
3	$F_{1u}$	555	300	[20]	$\infty$	$\text{Bi}_{0.18}\text{Ca}_{0.82}\text{MnO}_3$
3	$E_u$	630	290	[16] <sup>2</sup>	1	$\text{La}_{1/2}\text{Sr}_{3/2}\text{MnO}_4$
3	$E_u$	602	10	[8] <sup>1</sup>	2	$\text{LaSr}_2\text{Mn}_2\text{O}_7$
3	$E_u$	615	290	[19]	2	$\text{La}_{1.2}\text{Sr}_{1.8}\text{Mn}_2\text{O}_7$
3	$A_{1g}$	570	296	[25]	2	$\text{La}_{1.2}\text{Sr}_{1.8}\text{Mn}_2\text{O}_7$
3	$A_{1g}$	583	10	[8]	2	$\text{LaSr}_2\text{Mn}_2\text{O}_7$
3	$A_{1g}$	573	300	[3]	2	$\text{LaSr}_2\text{Mn}_2\text{O}_7$
3	$A_{1g}$	576	296	[24]	2	$\text{LaSr}_2\text{Mn}_2\text{O}_7$

<sup>1</sup> Данные для энергий ИК-активных мод взяты из ссылки [33] данной работы, где они приведены со ссылкой на неопубликованные результаты.

<sup>2</sup> Данные для энергий  $E_u$ -мод взяты из рисунка 4 этой работы, иллюстрирующего температурную эволюцию спектра отражения в фоновом диапазоне частот.

ные данные по различным типам мanganитов с их систематизацией по типам колебательных мод приведены в табл. 2. Предложенную в настоящей работе схему наследования мод кубической перовскитной структуры в слоистых мanganитах (см. табл. 2 и рис. 5) можно обосновать следующим.

Моды  $A_{2u}(1)$ ,  $E_u(1)$  являются прямыми «потомками» самой низкочастотной моды  $F_{1u}(1)$  кубической структуры. Они соответствуют антифазному относительному смещению октаэдров  $MnO_6$  и катионной подрешетки. Моды  $A_{1g}(1)$  и  $E_g(1)$  для двухслойной структуры «подобны» этой моде на половине расстояния до границы зоны Бриллюэна, ее LO- и TO-компонентам соответственно. По-видимому, небольшая ширина этой колебательной зоны приводит к близости экспериментальных частот рамановских  $A_{1g}(1)$ -линий с линиями  $E_u(1)$  и  $F_{1u}(1)$  в ИК спектрах.

В двухслойных структурах ( $n = 2$ ) вследствие наличия двух позиций катионов, позиции  $A(1)$  и  $A(2)$  на рис. 4, добавляются еще низкочастотные моды, связанные с антифазными колебаниями этих неэквивалентных катионных подрешеток. Моды типа  $E_u(4)$  и  $A_{2u}(4)$  соответствуют TO- и LO-компонентам моды  $F_{1u}(1)$  кубической структуры на границе зоны Бриллюэна. Рассуждения, приведенные в предыдущем пункте, позволяют сделать вывод, что их частоты не должны сильно отличаться от частоты моды  $F_{1u}(1)$  и соответствующих мод  $A_{1g}(1)$  и  $E_g(1)$ , обсуждаемых выше. Это соответствие вполне выполняется. Мода же  $A_{1g}(4)$  уже не имеет столь легко просматриваемого соответствия. По характеру смещений ионов она, скорее всего, соответствует акустической ветви на границе зоны Бриллюэна в кубическом мanganите.

Моды  $F_{1u}(2)$  и  $F_{1u}(3)$  трехмерной структуры описывают различного типа внутренние колебания октаэдров  $MnO_6$ . Эти колебания имеют более локальный характер, поэтому резонно предположить, что дисперсия частот колебаний, наследующих их характер в слоистых производных, будет невелика. Как видно из табл. 2, для мод, порожденных от  $F_{1u}(3)$ , частоты достаточно близки во всех рассматриваемых структурах. Такое же заключение можно сделать и о модах, несимметричных относительно операции инверсии для структур всех типов и обозначенных индексом 2. Моды же  $A_{1g}(2)$  в двухслойных мanganитах снова соответствуют моде  $F_{1u}(2)$  на границе зоны Бриллюэна кубического кристалла. Из раман-активных мод наиболее близки по характеру смещений ионов к модам кубического кристалла  $F_{1u}(2)$  и  $F_{1u}(3)$  моды  $E_g(2)$  и  $E_g(3)$ . К сожалению, невозможность их экспериментального наблюдения не позволяет провести и сравнение их частот, что было бы важной оценкой адекватности предложенного метода классификации.

Моды  $B_{1g}(1)$  для двухслойной структуры являются порождением неактивной в ИК поглощении моды  $F_{2u}(1)$  кубической структуры. Аналогичный характер относительных смещений ионов имеют моды  $B_{2u}(1)$ ,  $E_u(6)$  и  $E_g(5)$  в двухслойной структуре и моды  $B_{2u}(1)$  и  $E_u(4)$  в однослойной. Из имеющихся экспериментальных данных по рамановскому рассеянию света видно, что частота моды  $B_{1g}(1)$  близка к диапазону частот мод, порождаемых модой  $F_{1u}(2)$  кубической структуры. Если предположить, что и все остальные «потомки» имеют близкие частоты, то экспериментально наблюдаемые в ИК спектрах линии, соответствующие фононам с энергиями  $293 \text{ cm}^{-1}$  в двухслойной структуре и  $282 \text{ cm}^{-1}$  в однослойной, могут быть отнесены к модам  $E_u(6)$  и  $E_u(4)$  соответственно (табл. 2). Близость частот этих мод свидетельствует в пользу сделанных допущений.

## Обсуждение

На основании приведенного в предыдущем разделе анализа можно предположительно отнести самые низкочастотные линии, соответствующие возбуждениям с энергиями  $185$  и  $165 \text{ cm}^{-1}$ , в двух исследуемых соединениях  $\text{Pr}_{1,2}\text{Sr}_{1,8}\text{Mn}_2\text{O}_7$  и  $\text{Nd}_{1,2}\text{Sr}_{1,8}\text{Mn}_2\text{O}_7$ , к модам относительного смещения катионной подрешетки относительно слоевой структуры, составленной из  $MnO_6$  октаэдров (рис. 4). Эта мода в наших обозначениях имеет номер 1 (рис. 5). Ее частотное положение соответствует частотам нижайшей фононной моды и для многих других представителей мanganитов (см. табл. 2). Заметное отличие частот в соединениях Pr и Nd не может быть объяснено в терминах изотопического сдвига, поскольку массы Pr и Nd составляют 141 и 144 а.е.м., т.е. достаточно близки. Частотный сдвиг может отслеживать изменение параметров структуры, ее плотности, которая, в свою очередь, связана с изменением среднего значения ионного радиуса катионной подсистемы. Для пары  $\text{Pr}^{3+}$  и  $\text{Nd}^{3+}$  это различие также не выглядит слишком весомым. Согласно [14], ионные радиусы для этих ионов составляют 1,06 и 1,04 Å соответственно. Это различие гораздо меньше по сравнению с  $\text{La}^{3+}$ , чей радиус, по тем же данным, составляет 1,22 Å.

В отличие от трехмерных и однослойных мanganитов, в структуре которых имеется только одна позиция для редкоземельных и/или щелочноземельных катионов, двухслойные структуры содержат уже две неэквивалентные позиции. В литературе не обсуждается вопрос о вероятности заполнения этих двух позиций ионами различного типа, хотя возможность различного распределения катионов двух типов может приводить к дисперсии физических свойств конкретных образцов с одинаковым химическим составом. Так, для

формально весьма близких по всем размерным и массовым параметрам ионов  $\text{Pr}^{3+}$  и  $\text{Nd}^{3+}$  тем не менее наблюдается весьма существенное отличие параметров кристаллической решетки:  $a = 3,835 \text{ \AA}$ ,  $c = 20,157 \text{ \AA}$  для  $\text{Nd}_{1,2}\text{Sr}_{1,8}\text{Mn}_2\text{O}_7$  [1],  $a = 3,834 \text{ \AA}$ ,  $c = 20,260 \text{ \AA}$  для  $\text{Pr}_{1,4}\text{Sr}_{1,6}\text{Mn}_2\text{O}_7$ ,  $a = 3,851 \text{ \AA}$ ,  $c = 19,935 \text{ \AA}$  для  $\text{PrSr}_2\text{Mn}_2\text{O}_7$  [9]. Видно, что по мере увеличения индекса  $x$  базисный параметр  $a$  возрастает, а  $c$  уменьшается, следовательно, можно предположить, что для  $\text{Pr}_{1,2}\text{Sr}_{1,8}\text{Mn}_2\text{O}_7$  решетка более рыхлая в базисе, но более плотная вдоль тетрагональной оси. Из этих данных снова невозможно заключить ничего определенного относительно порядка следования частот самого низкоэнергетического  $E_u$ -фонона в этой паре соединений.

Казалось бы, более рыхлая в базисной плоскости решетка должна была бы проявлять и более низкую частоту такого колебания, в то время как эксперимент демонстрирует обратное. На рис. 5 эта  $E_u$ -мода для двухслойного соединения отмечена номером 1. Рядом показана мода (предположительно также низкочастотная), имеющая номер 4. На самом деле, векторы смещений ионов в наиболее низкочастотной моде содержат линейную комбинацию смещений в модах 1 и 4, т.е. в этой моде может присутствовать относительное смещение катионов из двух неэквивалентных позиций, обозначенных на рис. 4 как  $A(1)$  и  $A(2)$ . Таким образом, частота этой моды будет зависеть от величины приведенной массы катионной подрешетки, которая, в свою очередь, зависит от разности в вероятности заполнения тяжелыми по сравнению со  $\text{Sr}$  ионами  $\text{Pr}$  или  $\text{Nd}$  этих позиций. Возможно, что именно с этим в основном и связана достаточно большая разница в частотах этих фононов.

Наиболее высокочастотные линии из обсуждаемых экспериментальных спектров соответствуют колебательным возбуждениям с энергией  $375 \text{ cm}^{-1}$  в обоих соединениях. Согласно приведенному в предыдущем разделе анализу, мы относим их к модам типа 2 (табл. 2, рис. 5). Их энергия весьма близка к приведенным в литературе данным для энергии соответствующих мод. Они формируются в основном из внутренних «изгибных» колебаний октаэдров  $\text{MnO}_6$  и должны слабо чувствовать катионную подрешетку.

При комнатной температуре возбуждения с энергиями  $242$  и  $257 \text{ cm}^{-1}$  в кристаллах  $\text{Pr}$  и  $\text{Nd}$  соответственно, вероятнее всего, по своему частотному положению соответствуют моде, отмеченной номером 4 на рис. 5. Рассуждения, приведенные выше при обсуждении различия частот линий, соответствующих возбуждениям  $185$  и  $165 \text{ cm}^{-1}$ , в равной степени относятся и к этим модам. Необходимо подчеркнуть, что для данных мод порядок следования по частоте обратный. Это еще раз подтверждает правильность отнесения их

к четвертому типу, поскольку возрастание приведенной массы для одной из двух смешанных мод приводит к ее уменьшению для второй. Аналогией такого поведения можно назвать расщепление частот взаимодействующих колебаний.

В предыдущем разделе было отмечено, что мода 4 по своему характеру соответствует поперечной компоненте моды  $F_{1u}(1)$  в трехмерном перовските на границе зоны Бриллюэна. Неудивительно поэтому, что ее экспериментально наблюдаемая интенсивность более чем на порядок меньше, чем у моды типа 1.

Аномальная температурная зависимость частот фононов в мanganитах наблюдается не впервые. Обычно всякого рода аномалии фононного спектра проявляются в связи с фазовыми переходами, приводящими к магнитному упорядочению или к смене магнитной фазы, которым так или иначе сопутствуют изменения характера орбитального упорядочения  $e_g$ -электронов и соответствующие локальные или кооперативные искажения кислородных октаэдров вокруг  $\text{Mn}^{3+}$ .

Так, в поликристалле  $\text{La}_{0,7}\text{Ca}_{0,3}\text{MnO}_3$  при переходе в ферромагнитно упорядоченное состояние ( $T_C = 250 \text{ K}$ ) наблюдается рост энергий фононов  $T_{1u}(2)$  от  $330$  ( $T_C$ ) до  $337$  ( $150 \text{ K}$ )  $\text{cm}^{-1}$  и  $T_{1u}(3)$  от  $577$  ( $T_C$ ) до  $593$  ( $150 \text{ K}$ )  $\text{cm}^{-1}$ , который удалось объяснить поляронной моделью с учетом динамики решетки [22].

В монокристалле  $\text{Bi}_{0,18}\text{Ca}_{0,72}\text{MnO}_3$  «дополнительный», по выражению авторов работы [20], фонон с энергией  $436 \text{ cm}^{-1}$  проявляет аномальное смягчение приблизительно на  $20 \text{ cm}^{-1}$  после перехода в зарядово-упорядоченную фазу ( $T_{\text{CO}} \approx 210 \text{ K}$ ). Этот фонон в  $\text{Bi}$ -соединении авторами отнесен к моде типа 2. Убывание его частоты при понижении температуры трактуется авторами [20] в терминах сильной электрон-фононной связи как реакция на зарядовое упорядочение. Аномальное смягчение фононов с энергиями порядка  $600$  и  $490 \text{ cm}^{-1}$  при переходе в зарядово-упорядоченную фазу в соединениях ряда  $\text{La}_{1-x}\text{Sr}_x\text{MnO}_3$  при значениях индекса замещения  $x = 0,11, 0,125$  и  $0,14$  отмечают и авторы работы [26]. Этот эффект, по их мнению, отражает взаимодействие выбранных фононных мод с возникающими, так называемыми орбитальными, поляронами.

В слоистом соединении  $\text{La}_{1,2}\text{Sr}_{1,8}\text{Mn}_2\text{O}_7$  авторами [25] отмечено температурное поведение  $B_{1g}(1)$ -фонона  $322 \text{ cm}^{-1}$  при  $300 \text{ K}$ , очень напоминающее картину, представленную в настоящей работе (см. рис. 3). Энергия этого фонона быстро возрастает приблизительно на  $9 \text{ cm}^{-1}$  при понижении температуры до  $T_C \approx 120 \text{ K}$ , а затем смягчается примерно на  $3 \text{ cm}^{-1}$  к низким температурам. Авторы [25] считают, что это связано с тем же механизмом, что и в работе [22], приводящим, однако, не к ужесточению, а к смягчению

моды. Они полагают, что выше  $T_C$  существует термоактивированное движение поляронов малого радиуса, с которым связаны зарядовые флуктуации, вызывающие локальное нарушение симметрии и связывание моды  $B_{1g}(1)$  с модами, собственные колебания атомов в которых лежат в плоскости двойного слоя. Немного выше  $T_C$  находится температура перехода металл–изолятор ( $T_{MI} = 130$  К), при которой наблюдается максимум удельного сопротивления кристалла и прекращается прыжковое движение поляронов малого радиуса. Частота  $B_{1g}(1)$ -фона при этой температуре интерпретируется как частота невозмущенной решетки. Смягчение частоты при дальнейшем уменьшении температуры ниже  $T_C$  объясняется возникновением и развитием теперь уже поляронов большого радиуса, связывание фона с которыми приводит к эффекту, подобному парамагнитному режиму. К подобным выводам приходят и авторы [27].

В этом же кристалле, но методом ДИК поглощения [19] установлено, что  $E_u(3)$ -фон 615 см<sup>-1</sup> при 300 К претерпевает подобное же ужесточение при понижении температуры до  $T_C$  приблизительно на 11 см<sup>-1</sup> с последующим смягчением до 616 см<sup>-1</sup> при низких температурах. Объяснение подобной аномалии сродни тому, которое было приведено в предыдущем абзаце.

Все перечисленные аномалии так или иначе связаны с фазовыми превращениями в магнитной и зарядовой подсистемах мanganитов и наблюдались в соединениях, претерпевающих переход в ферромагнитную металлическую фазу. Соединения, исследуемые в настоящей работе, относятся к изоляторам. Nd-содержащие кристаллы во многих исследованиях используются как диэлектрические аналоги веществ с проводящей фазой. Nd<sub>1,2</sub>Sr<sub>1,8</sub>Mn<sub>2</sub>O<sub>7</sub> — парамагнитный изолятор при всех температурах [1,25,28–30]. Это связывают с «химическим» давлением, вызванным слишком малым ионным радиусом Nd<sup>3+</sup>, что в слоистых системах приводит к вытянутой вдоль оси с формой октаэдров MnO<sub>6</sub> и, соответственно, энергетически более выгодной орбитали  $d_{3z^2-r^2}$  для  $e_g$ -электронов. В результате у этого соединения межслоевая проводимость оказывается выше, чем проводимость вдоль слоев [1]. Для соединения Nd<sub>1,1</sub>Sr<sub>1,9</sub>Mn<sub>2</sub>O<sub>7</sub> с близким индексом замещения, согласно [5], существует переход в антиферромагнитную фазу при  $T_N = 120$  К. Однако к подобным данным приходится относиться аккуратно. Так, в работе [29] исследованы процессы синтеза двухслойных мanganитов. Для соединений Nd–Sr ряда авторы этой статьи отмечают, что только соединение с  $x = 0,4$  вырастает монофазным и является парамагнитным диэлектриком. Все остальные концентрации демонстрируют присутствие смеси различных фаз, таких как орторомбический мanganит,

т.е. Nd<sub>1-x</sub>Sr<sub>x</sub>MnO<sub>3</sub>, слоистые мanganиты и остатки непрореагировавших исходных реагентов. Они претерпевают переход изолятор–металл и ферромагнитно упорядочиваются при низких температурах. Действительно, спектры кристалла Nd<sub>1,2</sub>Sr<sub>1,8</sub>Mn<sub>2</sub>O<sub>7</sub> ( $x = 0,4$ ) в наших экспериментах демонстрируют узкие четкие фононные линии во всем диапазоне температур, что соответствует хорошей однородности образца.

Соединение Pr<sub>1,2</sub>Sr<sub>1,8</sub>Mn<sub>2</sub>O<sub>7</sub>, по имеющимся литературным данным, также не имеет никаких фазовых переходов при температурах ниже комнатной [28,31]. Из известных ближайших по концентрации замещения соединений известно, что Pr<sub>1,4</sub>Sr<sub>1,6</sub>Mn<sub>2</sub>O<sub>7</sub> ( $x = 0,3$ ) имеет  $T_{MI} = 85$  К, а PrSr<sub>2</sub>Mn<sub>2</sub>O<sub>7</sub> ( $x = 0,5$ ) не переходит в металлический режим [9]. В PrSr<sub>2</sub>Mn<sub>2</sub>O<sub>7</sub>, однако, наблюдается антиферромагнитное упорядочение при  $T_N = 130$  К [28].

Ни одна из перечисленных выше температур переходов для слоистых соединений с Pr не коррелирует с температурой характерного пика (~180 К) в зависимости энергии фона  $E_u(4)$  (242 см<sup>-1</sup> при комнатной температуре), полученной в настоящей работе (рис. 3). Кроме того, во всех аномалиях температурного поведения фона, описанных выше, участвуют моды, затрагивающие внутренние степени свободы MnO<sub>6</sub> октаэдров. Никто из авторов этих работ не приводит данных об аномальном поведении низкочастотных, так называемых решеточных, мод. Обычно эти моды достаточно устойчивы, и только сильные перестройки, связанные с большими смещениями или разворотами структурных комплексов, при структурных фазовых переходах могут существенно повлиять на их частоты.

Для двухслойных мanganитов достаточно хорошо известна концентрационная фазовая диаграмма только в La–Sr серии [32]. В этих соединениях наблюдается зарядовое упорядочение при  $x \geq 0,5$  при  $T_{CO} = T_N = 210$  К. Для соединений Pr такие данные нам не известны. По аналогии с наблюдаемым смягчением фона в Bi<sub>0,18</sub>Ca<sub>0,72</sub>MnO<sub>3</sub> [20] можно предположить, что в исследуемом кристалле Pr<sub>1,2</sub>Sr<sub>1,8</sub>Mn<sub>2</sub>O<sub>7</sub>, возможно, также происходит фазовый переход в зарядово-упорядоченное состояние. При этом, как уже отмечалось во введении, возможно, изменяется концентрация ионов Pr с различной валентностью [20] по схеме  $\text{Pr}^{3+} \rightarrow \text{Pr}^{4+} + e^-$ . Следует учесть еще и тот факт, что такой процесс может иметь разную вероятность для различных позиций, занимаемых ионами Pr в кристалле. Ионный радиус  $\text{Pr}^{4+}$  еще меньше, чем у  $\text{Pr}^{3+}$  и, если это ионы в позициях A(1) (рис. 4), т.е. в полостях двойного перовскитного слоя, то связь между ними и перовскитным остовом ослабевает. Это может приводить к уменьшению частоты соответствующей моды, в которой катионная подрешетка движется от-

носительно двойного слоя из октаэдров  $MnO_6$ . Именно к такому типу моды в настоящей работе и отнесена линия ДИК поглощения  $E_u(4) 242 \text{ см}^{-1}$ . О возможной сильной связи катионной подрешетки в мanganитах с электронами в перовскитоподобных слоях и распределением зарядов было указано еще в работе Goodenough [6].

## Выводы

Измерены спектры ДИК отражения монокристаллов мanganитов  $Pr_{1,2}Sr_{1,8}Mn_2O_7$  и  $Nd_{1,2}Sr_{1,8}Mn_2O_7$  в диапазоне энергий фононных мод  $50\text{--}500 \text{ см}^{-1}$  при температурах от 10 до 297 К.

На основании анализа частот фононов большого количества родственных мanganитов проведено отнесение наблюдаемых в ДИК диапазоне линий к определенным колебательным модам в рамках высокосимметричной тетрагональной фазы.

Обнаружено, что из трех линий, соответствующих исследованному частотному диапазону, аномальное температурное поведение демонстрирует линия, соответствующая фонону с энергией  $242 \text{ см}^{-1}$  при комнатной температуре в  $Pr_{1,2}Sr_{1,8}Mn_2O_7$ , с характерной температурой перемены знака приращения частоты около 180 К, которая может соответствовать точке фазового перехода в этом кристалле. Данные об этом переходе в кристаллах  $Pr_{1,2}Sr_{1,8}Mn_2O_7$  нам не известны.

Дано предположительное объяснение наблюданной аномалии, которая может быть связана с зарядовым упорядочением в  $Pr_{1,2}Sr_{1,8}Mn_2O_7$ , влекущим за собой перераспределение концентраций ионов  $Pr^{3+}/Pr^{4+}$  в двух неэквивалентных позициях в кристаллической решетке. Связанное с этим изменение энергии взаимодействия между кислородно-марганцевой и катионной подрешетками может служить причиной аномального смягчения обсуждаемой моды при понижении температуры ниже 180 К.

1. Y. Moritomo, Y. Maruyama, T. Akimoto, and A. Nakamura, *Phys. Rev.* **B56**, R7057 (1997).
2. T. Chatterji, L.P. Regnault, P. Thalmeier, R. Suryanarayanan, G. Dhalenne, and A. Revcolevschi, *Phys. Rev.* **B60**, R6965 (1999).
3. D.N. Argyriou, H.N. Bordallo, B.J. Campbell, A.K. Cheetham, D.E. Cox, J.S. Gardner, K. Hanif, A. dos Santos, and G.F. Strouse, *Phys. Rev.* **B61**, 15269 (2000).
4. Y. Moritomo, A. Asamitsu, H. Kuwahara, and Y. Tokura, *Nature* **380**, 141 (1996).
5. S. Okamoto, S. Ishihara, and S. Maekawa, *Phys. Rev.* **B63**, 104401 (2001).
6. J.B. Goodenough, *Phys. Rev.* **100**, 564 (1955).
7. R. Maezono and N. Nagaosa, *Phys. Rev.* **B61**, 1825 (2000).

8. K. Yamamoto, T. Kimura, T. Ishikawa, T. Katsufudji, and Y. Tokura, *Phys. Rev.* **B61**, 14706 (2000).
9. S. Chatterjee, P.H. Chou, C.F. Chang, I.P. Hong, and H.D. Yang, *Phys. Rev.* **B61**, 6106 (2000).
10. W. Archibald, J.-S. Zhou, and J.B. Goodenough, *Phys. Rev.* **B53**, 14445 (1996).
11. J. Dho, W.S. Kim, H.S. Choi, E.O. Chi, and N.H. Hur, *J. Phys. Soc. Jpn.* **70**, 2448 (2001).
12. Y. Moritomo, A. Nakamura, S. Mori, N. Yamamoto, K. Ohoyama, and M. Ohashi, *Phys. Rev.* **B56**, 14879 (1997).
13. E.L. Nagaev, *Phys. Rep.* **346**, 387 (2001).
14. J. Emsley, *Elements*, Clarendon Press, Oxford (1991).
15. E.L. Nagaev, *Phys. Lett.* **A273**, 258 (2000).
16. T. Ishikawa, K. Ookura, and Y. Tokura, *Phys. Rev.* **B59**, 8367 (1999).
17. M. Quijada, J. Čherne, J.R. Simpson, H.D. Drew, K.H. Ahn, A.J. Millis, R. Shreekala, R. Ramosh, M. Rajeswari, and T. Venkatesan, *Phys. Rev.* **B58**, 16093 (1998).
18. Y. Okimoto, T. Katsufudji, T. Ishikawa, A. Arushibara, T. Arima, and Y. Tokura, *Phys. Rev. Lett.* **75**, 109 (1995).
19. H.J. Lee, K.H. Kim, J.H. Jung, T.W. Noh, R. Suryanarayanan, G. Dhalenne, and A. Revcolevschi, *Phys. Rev.* **B62**, 11320 (2000).
20. H.L. Liu, S.L. Cooper, and S.-W. Cheong, *Phys. Rev. Lett.* **81**, 4684 (1998).
21. K.H. Kim, J.H. Jung, and T.W. Noh, *Phys. Rev. Lett.* **81**, 1517 (1998).
22. K.H. Kim, J.Y. Gu, H.S. Choi, G.W. Park, and T.W. Noh, *Phys. Rev. Lett.* **77**, 1877 (1996).
23. J.H. Jung, K.H. Kim, T.W. Noh, E.J. Choi, and J. Yu, *Phys. Rev.* **B58**, R11043 (1998).
24. D.B. Romero, Y. Moritomo, J.F. Mitchell, and H.D. Drew, *Phys. Rev.* **B63**, 132404 (2001).
25. D.B. Romero, V.B. Podobedov, A. Weber, J.P. Rice, J.F. Mitchell, R.P. Sharma, and H.D. Drew, *Phys. Rev.* **B58**, R14737 (1998).
26. K.-Y. Choi, P. Lemmens, T. Sahaoui, G. Güntherodt, Yu.G. Pashkevich, V.P. Gnezdilov, and P. Reutler, *Phys. Rev.* **B71**, 174402 (2005).
27. L. Vasiliu-Doloc, S. Rosekranz, R. Osborn, S.K. Sinha, J.W. Lynn, J. Mesot, O.H. Seeck, G. Preosti, A.J. Fedro, and J.F. Mitchell, *Phys. Rev. Lett.* **83**, 4393 (1999).
28. A.E. Pantoja, H.J. Trodahl, A. Fainstein, R.G. Pregliasco, R.G. Buckley, G. Balakrishnan, M.R. Lees, and D. Mck. Paul, *Phys. Rev.* **B63**, 132406 (2001).
29. K. Shah, D.K. Aswal, A. Singh, L.C. Gupta, S.K. Gupta, and V.C. Sahni, *Pramana J. Phys.* **58**, 1085 (2002).
30. P.D. Battle, N. Kasmir, J.E. Millburn, M.J. Rosseinsky, R.T. Patel, L.E. Spring, J.F. Vente, S.J. Blundell, W. Hayes, A.K. Klehe, A. Mihut, and J. Singleton, *J. Appl. Phys.* **83**, 6379 (1998).
31. M. Apostu, R. Suryanarayanan, A. Revcolevschi, H. Ogasawara, M. Yoshizawa, and N. Kobayashi, *Phys. Rev.* **B64**, 012407 (2001).
32. M. Kubota, H. Yoshizawa, Y. Moritomo, H. Fujioka, K. Hirota, and Y. Endoh, *J. Phys. Soc. Jpn.* **68**, 2202 (1999).

**Long-wave IR spectra of the bilayer rare earth manganites  
 $\text{Pr}_{1.2}\text{Sr}_{1.8}\text{Mn}_2\text{O}_7$  and  $\text{Nd}_{1.2}\text{Sr}_{1.8}\text{Mn}_2\text{O}_7$**

V.S. Kurnosov, V.V. Pishko, and V.V. Tsapenko

The far-infrared (FIR) reflectance spectra of single crystal manganites  $\text{Pr}_{1.2}\text{Sr}_{1.8}\text{Mn}_2\text{O}_7$  and  $\text{Nd}_{1.2}\text{Sr}_{1.8}\text{Mn}_2\text{O}_7$  are measured in the energy range  $50\text{--}500\text{ cm}^{-1}$  at temperatures from 10 to 297 K. The phonon lines observed in this range are assigned to definite vibrational modes in the approach of high symmetry tetragonal phase  $I4/mmm$ . The  $\text{Pr}_{1.2}\text{Sr}_{1.8}\text{Mn}_2\text{O}_7$  crystal displays an anomalous temperature behavior of the energy of one of the

lattice phonons ( $242\text{ cm}^{-1}$  at room temperature). The temperature dependence of the corresponding line frequency exhibits a kink at  $T \approx 180\text{ K}$ , below which an anomalous softening of this mode is observed. An assumption about a possible phase transition of the crystal to a charge-ordered state is made, and a mechanism of the phonon frequency response is proposed, which is based on the effect of changing the Pr ions valence.

PACS: **78.30.-j** Infrared and Raman spectra;  
63.20.Kr Phonon-electron and phonon-phonon interactions.

Keywords: manganite, phonon, vibrational mode, phase transition.